

文章编号 :1000-4025(2004)11-2092-04

# 藏药抱茎獐牙菜 HPLC 指纹图谱研究\*

纪兰菊,保 怡,马玉花,陈桂琛

(中国科学院西北高原生物研究所,西宁 810001)

**摘要**采用反相高效液相色谱-二极管阵列的检测方法,对不同产地的10批野生和栽培抱茎獐牙菜药材的水溶性成分进行了分析,建立了抱茎獐牙菜药材的指纹图谱。色谱柱为VP-ODS C<sub>18</sub>柱(5 μm, 150 mm × 4.6 mm),流动相为甲醇-0.02%的磷酸水溶液,检测波长254 nm。用文中的最佳条件可较全面地反映抱茎獐牙菜的主要成分,为藏药抱茎獐牙菜的质量控制提供了科学依据。

**关键词**藏药 抱茎獐牙菜 指纹图谱 反相高效液相色谱-二极管阵列的检测方法

中图分类号 Q 946.91 文献标识码 A

## Study on the chromatographic fingerprint of Tibet herb *Swertia franchetiana* by HPLC

JI LAN-JU, BAO YI, MA YU-HUA, CHEN GUI-CHEN

(Northwest Plateau Institute of Biology, Chinese Academy of Sciences, Xining 810001, China)

**Abstract** The chromatographic fingerprint of *Swertia franchetiana* H. Smith has been set up by high performance liquid chromatography-diode-array detection method for ten batches herbs collected in different districts of Qinghai-Tibet Plateau. The analysis was performed on a VP-ODS C<sub>18</sub> (5 μm, 150 mm × 4.6 mm) eluted with methanol and 0.02% aqueous phosphoric acid as mobile phase and with UV detection at 254 nm. A general fingerprint acquaintance of main constituents in *S. franchetiana* can be obtained by HPLC method, which provides scientific indexes for quality of *S. franchetiana*.

**Key words** Tibet herb *Swertia franchetiana* H. Smith chromatographic fingerprint high performance liquid chromatography-diode-array detection

抱茎獐牙菜(*Swertia franchetiana* H. Smith)为龙胆科(Gentianaceae)獐牙菜属植物,分布于西藏、青海、四川及甘肃等地。为藏族民间常用的一种草药,藏名为“蒂达”,也泛称“藏茵陈”。本品性凉味苦,有清热解毒,利胆退黄之功能,对黄疸性肝炎有显著疗效,民间药用全草治疗肝胆系统疾病。抱茎獐牙菜药材已正式投产,产品有单方和组方<sup>[1]</sup>。对抱茎獐牙菜药材的成分在植物中的分布及含量已有报道<sup>[2~4]</sup>,但对其指纹图谱的研究未见报道,为进一步评价其入药药材的质量和药理功能,我们利用反相

高效液相法对抱茎獐牙菜药材的指纹图谱进行了研究。

## 1 实验部分

### 1.1 仪器、试剂与材料

LC-10A T<sub>V</sub>P 二元泵(岛津) Rheodyne 7725 进样器(美国) SPD-M 10AVP 二极管阵列检测器(岛津) Class-V P 液相色谱工作站(岛津) 2200B 超声波仪;C<sub>18</sub> 硅胶小柱(1 mL, Waters)。

HPLC 级甲醇购自山东省禹王公司,分析纯甲

\* 收稿日期 2003-12-09 修改稿收到日期 2004-06-22

基金项目 国家中西部专项“青藏高原重要中藏药材产业化种植技术研究”(2001BA901A47)  
作者简介 纪兰菊(1952- ),女,北京人,副研究员,主要从事藏药药化研究工作。

醇、磷酸购自上海化学试剂公司。

10 批成熟期抱茎獐牙菜药材分别采集：青海省平安县；商购；青海省青沙山；青海省大黑沟；青海省西宁栽培药材；青海省海东；青海省西宁市；西藏；青海省西宁大墩岭；青海省同仁县麦秀林场。

## 1.2 色谱分析条件

色谱柱 VP-ODS C<sub>18</sub> 柱(5 μm, 150 mm × 4.6 mm)；流动相：甲醇-0.02% 磷酸水溶液；流速 1.0 mL/min；检测波长 254 nm；柱温：室温。分析时间 70 min，进样量 20 μL。

## 1.3 供试品溶液的制备

分别取上述不同产地的抱茎獐牙菜药材，全株剪碎，置超微粉碎机中粉碎 20 min，精密称取 0.5 g，置 100 mL 锥形瓶中，加甲醇 20 mL，置 80℃ 水浴锅上回流 2 h，放冷至室温，过滤，滤液于 25 mL 容量瓶中，用甲醇定容，摇匀后经 C<sub>18</sub> 硅胶小柱做脱脂处理，即先用 5 mL 蒸馏水活化小柱，即用 5 mL 甲

醇预先淋洗，再用 10 mL 蒸馏水洗脱后，将样品提取液直接上柱，弃取初滤液，收集续滤液为供试品溶液。

## 2 结果与分析

### 2.1 流动相及检测波长的选择

精密吸取供试品溶液 20 μL 进样，分别以甲醇-水、甲醇-醋酸水溶液(0.02%~0.1%)、甲醇-磷酸水溶液(0.02%~0.1%)、乙腈-磷酸水溶液(0.02%~1%)，进行不同比例的等度及梯度试验，记录 190~370 nm 波长处的色谱图。结果表明，以甲醇-磷酸水溶液 0.02%，梯度洗脱程序为 0~18 min，甲醇的体积分数(下同)由 25% 线性增加至 35%；18~40 min，甲醇由 40% 线性增加至 50%；40~70 min，甲醇由 55% 线性增加至 100% 的洗脱条件和检测波长为 254 nm 条件为佳。供试品中各色谱分离峰基本达到基线分离(图 1)。

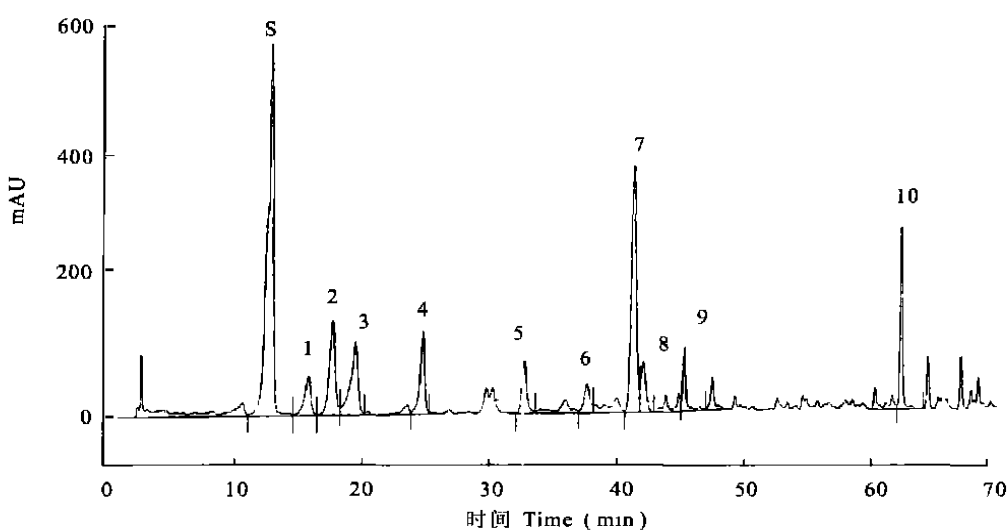


图 1 样品色谱图

Fig. 1 Chromatogram of samples

## 2.2 精密度试验

以同一供试品溶液进样，每次 20 μL，重复 5 次，检测供试品药材中的各共有峰的保留时间和峰

面积，计算峰号 1~10 的相对保留时间( $R_{RT}$ )的 RSD(%) 和峰面积( $R_A$ )的 RSD(%)，结果见表 1。

表 1 精密度测定

Table 1 Determination of precision

| 峰号<br>No. of peak                     | 1    | 2    | 3    | 4    | 5    | 6    | 7    | 8    | 9    | 10   |
|---------------------------------------|------|------|------|------|------|------|------|------|------|------|
| $R_{RT}$ 的 RSD<br>RSD of $R_{RT}$ (%) | 0.92 | 1.28 | 1.57 | 2.50 | 2.52 | 2.62 | 4.49 | 2.56 | 2.78 | 2.86 |
| $R_A$ 的 RSD<br>RSD of $R_A$ (%)       | 3.52 | 3.31 | 3.72 | 1.97 | 4.08 | 2.81 | 2.59 | 3.07 | 4.32 | 3.76 |

### 2.3 稳定性试验

取上述供试品溶液, 分别间隔 2 h 进样, 每次 20  $\mu\text{L}$ , 重复 5 次, 计算峰号 1~10 的相对保留时间

( $R_{RT}$ ) 的 RSD(%) 和峰面积( $R_A$ ) 的 RSD(%) , 结果见表 2.

表 2 稳定性测定

Table 2 Determination of stability

| 峰号<br>No. of peak                     | 1    | 2    | 3    | 4    | 5    | 6    | 7    | 8    | 9    | 10   |
|---------------------------------------|------|------|------|------|------|------|------|------|------|------|
| $R_{RT}$ 的 RSD<br>RSD of $R_{RT}$ (%) | 0.09 | 0.21 | 0.44 | 0.63 | 0.63 | 0.67 | 0.75 | 0.67 | 0.81 | 0.85 |
| $R_A$ 的 RSD<br>RSD of $R_A$ (%)       | 4.05 | 4.22 | 3.76 | 2.82 | 2.25 | 4.52 | 2.03 | 2.24 | 2.13 | 1.20 |

### 2.4 重复性试验

按供试品溶液制备方法分别制备 5 份样品, 分别测定, 计算峰号 1~10 的相对保留时间( $R_{RT}$ )的 RSD(%) 和峰面积( $R_A$ )的 RSD(%) , 结果见表 3.

表 3 重复性测定

Table 3 Determination of repeat

| 峰号<br>No. of peak                     | 1    | 2    | 3    | 4    | 5    | 6    | 7    | 8    | 9    | 10   |
|---------------------------------------|------|------|------|------|------|------|------|------|------|------|
| $R_{RT}$ 的 RSD<br>RSD of $R_{RT}$ (%) | 0.30 | 0.40 | 1.30 | 0.94 | 1.03 | 1.08 | 1.30 | 0.99 | 1.13 | 1.61 |
| $R_A$ 的 RSD<br>RSD of $R_A$ (%)       | 3.88 | 3.45 | 3.10 | 2.20 | 3.24 | 1.64 | 0.57 | 3.96 | 3.30 | 1.34 |

### 2.5 抱茎獐牙菜药材的指纹图谱及技术参数

2.5.1 指纹图谱的选择及特征峰的标定 按照中药指纹图谱研究技术<sup>[5]</sup>要求, 根据 10 批供试品的 HPLC 图谱所给出的相关参数, 抱茎獐牙菜药材中水溶性的所有成分色谱峰在 70 min 之内全部出现,

由于在 12 min 左右出现的峰为主要峰, 选择此峰为参考峰(S), 其它特征峰依次标号为 1~10(图 1)同时对 10 批药材的色谱分离图进行叠加比较(图 2). 根据色谱归一化分析, 抱茎獐牙菜药材 HPLC 指纹图谱的共有特征峰面积总和> 90% .

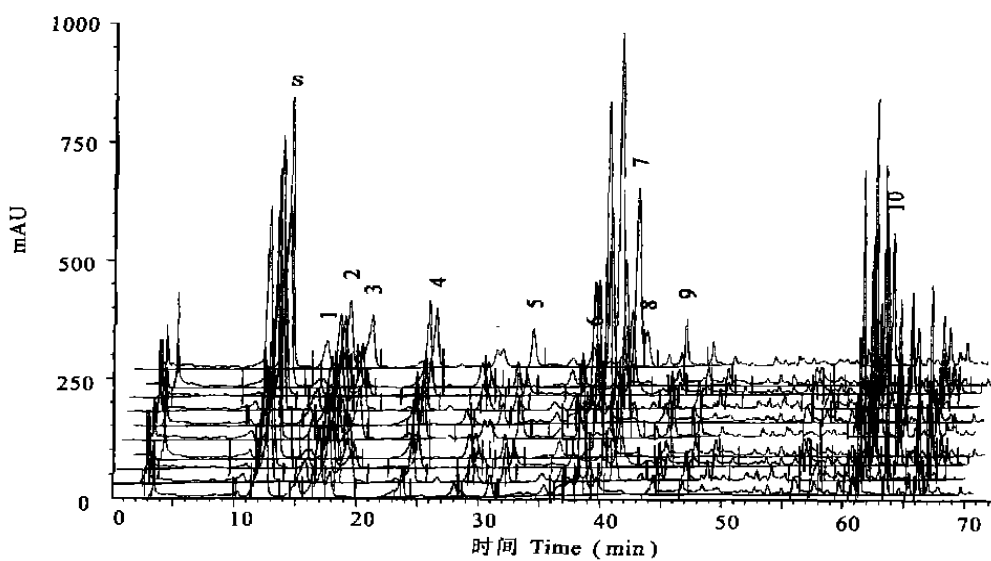


图 2 10 批抱茎獐牙菜药材色谱分离叠加图  
(色谱分离图从下到上依次为样品 1~10)

Fig. 2 Overlap chromatogram of separation ten batches of herbs  
(From below to top chromatogram of separation 1~10)

**2.5.2 特征峰相对保留时间及相对峰面积积分比值** 以保留时间为 12 min 左右时的峰为参考峰(S), 对 10 批供试品中, 各指纹特征峰进行相对保留时间( $R_{RT}$ )及相对峰面积( $R_A$ )的计算(表 4 表 5)。

### 3 结 论

选用反相高效液相色谱法与二级管陈列检测器

联用方法, 对中药材进行指纹图谱的研究, 解决了中药缺乏测定标准品的难题, 同时可获得全面反映药材特性的色谱分离图, 制定出系统性、特征性和稳定性均较好的药材指纹图谱, 并转换成稳定、易于比较的共有模式参数, 为中药材的质量标准检测和品质评价, 提供了快速、准确、全面的分析方法。

表 4 抱茎獐牙菜药材的 HPLC 特征峰  $R_{RT}$

Table 4 HPLC  $R_{RT}$  of *Swertia franchetiana*

| 样品号<br>No. of sample | S    | 1    | 2    | 3    | 4    | 5    | 6    | 7    | 8    | 9    | 10   |
|----------------------|------|------|------|------|------|------|------|------|------|------|------|
| 1                    | 1.00 | 1.23 | 1.38 | 1.46 | 1.96 | 2.58 | 3.15 | 3.22 | 3.33 | 3.72 | 5.17 |
| 2                    | 1.00 | 1.23 | 1.38 | 1.52 | 1.93 | 2.54 | 2.91 | 3.20 | 3.36 | 3.54 | 4.86 |
| 3                    | 1.00 | 1.23 | 1.38 | 1.53 | 1.95 | 2.57 | 2.95 | 3.25 | 3.45 | 3.56 | 4.91 |
| 4                    | 1.00 | 1.22 | 1.38 | 1.53 | 1.96 | 2.57 | 3.07 | 3.25 | 3.43 | 3.56 | 4.97 |
| 5                    | 1.00 | 1.24 | 1.39 | 1.54 | 1.98 | 2.59 | 3.12 | 3.27 | 3.41 | 3.81 | 5.00 |
| 6                    | 1.00 | 1.19 | 1.38 | 1.45 | 1.97 | 2.60 | 3.18 | 3.25 | 3.36 | 3.76 | 5.23 |
| 7                    | 1.00 | 1.24 | 1.39 | 1.61 | 2.04 | 2.61 | 3.12 | 3.34 | 3.48 | 3.70 | 5.16 |
| 8                    | 1.00 | 1.20 | 1.39 | 1.48 | 1.97 | 2.59 | 3.17 | 3.24 | 3.34 | 3.72 | 5.16 |
| 9                    | 1.00 | 1.24 | 1.38 | 1.52 | 1.97 | 2.58 | 2.96 | 3.26 | 3.31 | 3.64 | 5.04 |
| 10                   | 1.00 | 1.24 | 1.39 | 1.56 | 2.02 | 2.61 | 3.13 | 3.31 | 3.45 | 3.65 | 5.17 |

表 5 抱茎獐牙菜药材的 HPLC 特征峰  $R_A$

Table 5 HPLC  $R_A$  of *Swertia franchetiana*

| 样品号<br>No. of sample | S    | 1    | 2    | 3    | 4    | 5    | 6    | 7    | 8    | 9    | 10   |
|----------------------|------|------|------|------|------|------|------|------|------|------|------|
| 1                    | 1.00 | 0.15 | 0.53 | 0.15 | 0.14 | 0.10 | 0.13 | 0.77 | 0.12 | 0.09 | 0.39 |
| 2                    | 1.00 | 0.08 | 0.35 | 0.30 | 0.16 | 0.10 | 0.05 | 0.88 | 0.05 | 0.06 | 0.40 |
| 3                    | 1.00 | 0.04 | 0.44 | 0.20 | 0.20 | 0.13 | 0.10 | 0.57 | 0.04 | 0.06 | 0.40 |
| 4                    | 1.00 | 0.05 | 0.05 | 0.25 | 0.28 | 0.16 | 0.04 | 1.29 | 0.05 | 0.04 | 0.99 |
| 5                    | 1.00 | 0.13 | 0.27 | 0.31 | 0.18 | 0.14 | 0.05 | 1.90 | 0.06 | 0.04 | 0.24 |
| 6                    | 1.00 | 0.11 | 0.84 | 0.18 | 0.37 | 0.21 | 0.32 | 1.03 | 0.15 | 0.09 | 1.26 |
| 7                    | 1.00 | 0.07 | 0.17 | 0.22 | 0.13 | 0.09 | 0.04 | 1.07 | 0.02 | 0.08 | 0.15 |
| 8                    | 1.00 | 0.04 | 0.40 | 0.19 | 0.37 | 0.09 | 0.04 | 0.71 | 0.09 | 0.06 | 0.41 |
| 9                    | 1.00 | 0.11 | 0.25 | 0.26 | 0.19 | 0.12 | 0.08 | 0.67 | 0.12 | 0.09 | 0.26 |
| 10                   | 1.00 | 0.08 | 0.08 | 0.16 | 0.17 | 0.12 | 0.04 | 1.11 | 0.03 | 0.05 | 0.38 |

抱茎獐牙菜药材的指纹图谱应具有自身的化学条码特征, 是其内在化学成分种类与数量的反映, 我们对不同产地的 10 批抱茎獐牙菜药材的水溶性成

分的 HPLC 指纹图谱进行了技术参数的分析, 建立了抱茎獐牙菜药材的指纹图谱。

### 参 考 文 献 :

- [1] 中国科学院西北高原生物研究所. 藏药志[M]. 西宁: 青海人民出版社, 1991: 110- 111.
- [2] DING JY(丁经业), FAN SHF(樊淑芬), HUBL(胡伯林), SUN HF(孙洪发). Isolation and identification of the xanthone constituents from *Swertia franchetiana* H. Smith[J]. *Acta Botologica Plateau Sinica*(高原生物学集刊), 1982, 5: 267- 270(in Chinese).
- [3] SONG YL(宋娅莉), HU FZ(胡凤祖), LIN PC(林鹏程), et al. Determination of xanthones in *Swertia mussotii* and *Swertia franchetiana* by high performance liquid chromatography[J]. *Chinese Journal of Chromatography*(色谱), 2004, 22(1): 51- 53 (in Chinese).
- [4] GAO GY(高光跃), LI M(李鸣), FENG YX(冯毓秀), TAN P(谭沛). Determination of effective constituents in 11 *Swertia* and related plants by HPLC[J]. *Acta Pharmaceutica Sinica*(药学学报), 1994, 29(12): 910- 914 (in Chinese).
- [5] 周玉新. 中药指纹图谱研究技术[M]. 北京: 化学工业出版社, 2002: 108- 109.